

## 专业科研论文

序号	论文题目	作者姓名	发表时间	发表刊物或方式	检索收录类型	获奖情况
1	东西方传统插花艺术对比	闵宪梅	2018.01	艺术科技	一般期刊 中国知网	无
2	城市公共园林绿地梨锈病的发生与防治	耿云红	2017.10	南方农业	一般期刊 中国知网	无
3	浅谈草本花卉在园林绿地中的应用	闵宪梅	2017.10	科技经济导刊	一般期刊 中国知网	无
4	浅谈园林植物钻蛀性害虫的防治	耿云红	2016.11	农技服务	一般期刊 中国知网	无
5	对淄博湿地公园景观设计分析	闵宪梅	2016.10	科技经济导刊	一般期刊 中国知网	无
6	山东省淄博市海棠种植大户畅谈海棠品种走势	赵莉	2016.02	北京农业	一般期刊 中国知网	无
7	茶多酚与海藻酸钠膜对鲜切雏菊保鲜的影响	赵莉	2015.06	北方园艺	北大核心 中国知网	淄博市第十六届自然科学优秀学术成果 三等奖
8	氮添加对紫花苜蓿根区土壤养分及土壤微生物量的影响	赵莉	2014.12	水土保持研究	北大核心 中国知网	淄博市第十五届自然科学优秀学术成果 三等奖
9	校园植物景观配置于植物文化—以淄博职业学院为例	闵宪梅	2014.11	科技风	一般期刊 中国知网	无
10	复合香辛料浸提液对切花菊保鲜效果的影响	赵莉	2014.10	北方园艺	北大核心 中国知网	淄博市第十五届自然科学优秀学术成果 一等奖
11	绿色植物在办公室空气污染防治中的作用	耿云红	2014.09	才智	一般期刊 中国知网	无
12	黄瓜幼苗对镉胁迫下外源一氧化氮与铁氰化钾的响应	高荣侠	2014.05	北方园艺	北大核心 中国知网	淄博市自然科学优秀学术成果 三等奖





### 浅谈园林植物钻蛀性害虫的防治

耿云红

(淄博职业学院药剂与生物工程系,山东淄博 255314)

摘要:本文列举了淄博常见的钻蛀性害虫,分析了钻蛀性害虫的危害特点,并提出了有效的防治方法,以期更好地促进园林植物的健康生长。

关键词:淄博;园林植物;钻蛀性害虫;防治

园林植物的生长常常受到钻蛀性害虫的侵袭,致使大量植物受害,给园林绿化带来不可估量的损失。采取有效的措施防治钻蛀性害虫是园林工作中的一项重要内容。

#### 1 园林植物钻蛀性害虫分类

园林植物钻蛀性害虫是指能钻入植物体内,危害树干和树皮的害虫,幼虫蛀食导致植物组织严重破坏,并分泌许多虫粪或分泌物,影响植物生长。

通过实地考察和查阅文献,淄博常见的园林植物钻蛀性害虫包括:鞘翅目的天牛类(如星天牛、光肩星天牛、桑天牛、双棘天牛等);鳞翅目的天牛科(如内卷木甲虫);小蠹虫类(如柳干小蠹);鞘翅目的木犀科(如咖啡木蠹蛾、榆木蠹蛾、槐木蠹蛾等);总翅目(如白杨透骨蛾等);鞘翅目的天牛科(如加拿大天牛等)。

#### 2 钻蛀性害虫的危害特点

2.1 危害广泛,分布范围广泛

除成虫取食嫩绿茎叶外,其它各虫态均在树皮、木质部进行蛀食,危害范围广泛。此外,天牛幼虫在树皮内越冬,2.2“天牛性害虫”,6月至9月严重发生。

主要危害生长幼嫩树木,故称之为次生害虫。幼虫钻蛀植物的主干、树枝,蛀空树皮和木质部,使树木枝叶、根系了养分、水分的输送,严重影响树木生长发育,甚至一虫受害后,植株即告死亡。

#### 3 园林植物钻蛀性害虫防治

3.1 预防性防治

首先,通过性信息素或诱光诱杀,调查钻蛀性害虫的种群,按量设诱捕器等;第二,对钻蛀性害虫的危害发生时间及其危害程度进行调查,并定期指导管理人员采取有效的防治措施。

3.2 生物防治

3.3 人工捕捉和清除

3.4 物理防治

3.4 生物防治

3.4.1 诱虫灯

3.4.2 诱虫袋

3.4.3 诱虫陷阱

3.4.4 诱虫盒

3.4.5 诱虫网

3.4.6 诱虫桶

3.4.7 诱虫箱

3.4.8 诱虫罐

3.4.9 诱虫盆

3.4.10 诱虫瓶

3.4.11 诱虫袋

3.4.12 诱虫盒

3.4.13 诱虫网

3.4.14 诱虫桶

3.4.15 诱虫箱

3.4.16 诱虫罐

3.4.17 诱虫盆

3.4.18 诱虫瓶

3.4.19 诱虫袋

3.4.20 诱虫盒

3.4.21 诱虫网

3.4.22 诱虫桶

3.4.23 诱虫箱

3.4.24 诱虫罐

3.4.25 诱虫盆

3.4.26 诱虫瓶

3.4.27 诱虫袋

3.4.28 诱虫盒

3.4.29 诱虫网

3.4.30 诱虫桶

3.4.31 诱虫箱

3.4.32 诱虫罐

3.4.33 诱虫盆

3.4.34 诱虫瓶

3.4.35 诱虫袋

3.4.36 诱虫盒

3.4.37 诱虫网

3.4.38 诱虫桶

3.4.39 诱虫箱

3.4.40 诱虫罐

3.4.41 诱虫盆

3.4.42 诱虫瓶

3.4.43 诱虫袋

3.4.44 诱虫盒

3.4.45 诱虫网

3.4.46 诱虫桶

3.4.47 诱虫箱

3.4.48 诱虫罐

3.4.49 诱虫盆

3.4.50 诱虫瓶

3.4.51 诱虫袋

3.4.52 诱虫盒

3.4.53 诱虫网

3.4.54 诱虫桶

3.4.55 诱虫箱

3.4.56 诱虫罐

3.4.57 诱虫盆

### 对淄博湿地公园景观设计分析

倪光伟

(淄博职业学院 淄博 255314)

摘要:随着湿地公园的发展,对湿地公园的景观设计也越来越受到重视。本文从湿地公园的景观设计入手,对淄博湿地公园的景观设计进行了分析,以期更好地促进湿地公园的健康发展。

关键词:淄博;湿地公园;景观设计

中图分类号:G240 文献标识码:A

文章编号:1673-4343(2016)12-0154-01

随着经济和社会的飞速发展,人们的生活水平也在不断提高。在物质生活得到满足的同时,人们开始追求精神上的享受。湿地公园作为一种集生态保护、科普教育、休闲娱乐为一体的生态景观,越来越受到人们的青睐。

1 湿地公园景观设计的概述

1.1 景观设计的定义

1.2 景观设计的分类

1.3 景观设计的要素

景观规划、设计、施工、维护等各个环节,都需要设计师的精心设计和施工人员的严格执行。只有各个环节都做到位,才能打造出高质量的景观工程。

1.4 景观设计的意义

1.5 景观设计的挑战

2 淄博湿地公园景观设计的现状

2.1 设计理念

2.2 设计手法

2.3 设计成果

2.4 设计评价

2.5 设计反思

2.6 设计展望

2.7 设计总结

3 结语

4 参考文献

5 致谢







表2 硝普钠对胁迫下黄瓜叶片光合作用的影响

Table 2 Effect of SNP on the photosynthesis of cucumber seedlings leaves under Cd stress

变化,说明NO可以减轻Cd胁迫对幼苗叶片的影响。

2.4 外源一氧化氮对胁迫下黄瓜叶片荧光参数的影响

图3反映了叶绿素荧光参数的变化情况,Fv/Fm表示光反应中心PSII的原始光能转化效率,结果表明,Cd处理显著抑制了黄瓜叶片中的Fv/Fm,而硝普钠的处理显著缓解了这一状况。

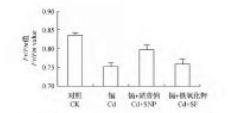


图3 硝普钠对胁迫下黄瓜幼苗叶片荧光参数的影响

2.5 外源一氧化氮对胁迫下黄瓜幼苗叶片MDA和H2O2含量的影响

MDA和H2O2含量的多少反映了植物受逆境胁迫的程度,从图4可以看出,胁迫下,黄瓜叶片MDA和H2O2含量显著增加,硝普钠处理的MDA含量和H2O2含量高于对照,铁离子处理的MDA含量和H2O2含量与Cd处理相比没有显著差异。

2.6 外源一氧化氮对胁迫下黄瓜幼苗叶片抗氧化酶活性的影响

从图5可以看出,胁迫处理对黄瓜幼苗叶片SOD、POD、CAT活性均有明显的抑制作用,硝普钠显著缓解了胁迫的抑制作用。

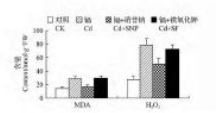


图4 硝普钠对胁迫下黄瓜幼苗叶片MDA含量和H2O2含量的影响

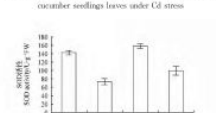


图5 硝普钠对胁迫下黄瓜幼苗叶片抗氧化酶活性的影响

2.7 外源一氧化氮对胁迫下黄瓜幼苗叶片抗氧化能力的影响

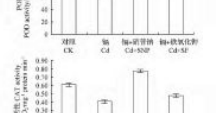


图6 硝普钠对胁迫下黄瓜幼苗叶片抗氧化能力的影响

3 结论

叶片黄化是植物受害的显著症状,该试验中随着Cd2+浓度的增加,黄瓜幼苗叶片的黄化程度明显加重,而NO提高了叶片中类胡萝卜素、叶绿素a、叶绿素b和总类胡萝卜素含量,缓解了胁迫对幼苗叶片的伤害。

表2 硝普钠对胁迫下黄瓜幼苗叶片光合作用的影响

Table 2 Effect of SNP on the photosynthesis of cucumber seedlings leaves under Cd stress

变化,说明NO可以减轻Cd胁迫对幼苗叶片的影响。

2.4 外源一氧化氮对胁迫下黄瓜叶片荧光参数的影响

图3反映了叶绿素荧光参数的变化情况,Fv/Fm表示光反应中心PSII的原始光能转化效率,结果表明,Cd处理显著抑制了黄瓜叶片中的Fv/Fm,而硝普钠的处理显著缓解了这一状况。

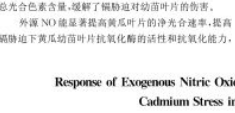


图3 硝普钠对胁迫下黄瓜幼苗叶片荧光参数的影响

2.5 外源一氧化氮对胁迫下黄瓜幼苗叶片MDA和H2O2含量的影响

MDA和H2O2含量的多少反映了植物受逆境胁迫的程度,从图4可以看出,胁迫下,黄瓜叶片MDA和H2O2含量显著增加,硝普钠处理的MDA含量和H2O2含量高于对照,铁离子处理的MDA含量和H2O2含量与Cd处理相比没有显著差异。

2.6 外源一氧化氮对胁迫下黄瓜幼苗叶片抗氧化酶活性的影响

从图5可以看出,胁迫处理对黄瓜幼苗叶片SOD、POD、CAT活性均有明显的抑制作用,硝普钠显著缓解了胁迫的抑制作用。

表2 硝普钠对胁迫下黄瓜幼苗叶片光合作用的影响

Table 2 Effect of SNP on the photosynthesis of cucumber seedlings leaves under Cd stress

变化,说明NO可以减轻Cd胁迫对幼苗叶片的影响。

2.4 外源一氧化氮对胁迫下黄瓜叶片荧光参数的影响

图3反映了叶绿素荧光参数的变化情况,Fv/Fm表示光反应中心PSII的原始光能转化效率,结果表明,Cd处理显著抑制了黄瓜叶片中的Fv/Fm,而硝普钠的处理显著缓解了这一状况。

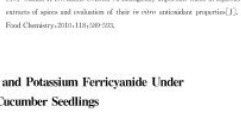


图3 硝普钠对胁迫下黄瓜幼苗叶片荧光参数的影响

2.5 外源一氧化氮对胁迫下黄瓜幼苗叶片MDA和H2O2含量的影响

MDA和H2O2含量的多少反映了植物受逆境胁迫的程度,从图4可以看出,胁迫下,黄瓜叶片MDA和H2O2含量显著增加,硝普钠处理的MDA含量和H2O2含量高于对照,铁离子处理的MDA含量和H2O2含量与Cd处理相比没有显著差异。

2.6 外源一氧化氮对胁迫下黄瓜幼苗叶片抗氧化酶活性的影响

从图5可以看出,胁迫处理对黄瓜幼苗叶片SOD、POD、CAT活性均有明显的抑制作用,硝普钠显著缓解了胁迫的抑制作用。

HPLC-ELSD法测定酸奶中乳糖的含量

李公斌,李秀兰\* (1.淄博职业学院,山东淄博255314;2.北京电子科技职业学院,北京100029)

摘要:研究酸奶中乳糖含量的测定方法,采用HPLC-ELSD法分别测定酸奶中的糖的含量,结果表明,乳糖在8 μg-50 μg范围内线性关系良好,相关系数为0.9996,该方法快速、简便、灵敏度高、重现性好,是测定酸奶中乳糖含量的理想方法。

关键词:酸奶;乳糖;高效液相色谱-蒸发光散射法(HPLC-ELSD)

Determination of the Water-soluble Sugars in Red Raspberry by High Performance Liquid Chromatography with Evaporative Light Scattering Detector (HPLC-ELSD)

LI Gong-bin\*, LIN Xiu-lan\*\* (1. Zibo Vocational Institute, Zibo 255314, Shandong, China; 2. Beijing Electronic Science and Technology Vocational College, Beijing 100029, China)

Abstract: The method of testing lactose in yogurt by HPLC-ELSD was studied. The result shows that the linear relation of lactose is good in the respective range of 8 μg-50 μg. The relative coefficient is 0.9996 respectively. This method is rapid, simple and accurate with high sensitivity and reproducibility, which is an ideal way to detect lactose in yogurt.

Key words: yogurt; lactose; HPLC-ELSD

酸奶(Yoghurt)是以牛乳或羊乳经乳酸菌发酵而成的乳制品,口感好,助消化,易吸收,是人们喜爱的营养食品。酸奶具有爽口的酸味和独特的风味而且比鲜奶更有营养,对人体有保健作用,饮用酸奶可克服乳糖不耐症、降低胆固醇、抑制癌症、美容等作用,作为一种保健食品,其生功能也越来越多引起人们的重视,是目前国内乳品业中发展最快的乳制品之一,并越来越

基金项目:山东省高等学校优秀中青年骨干教师国内访问学者项目(李公斌,李(90-),男(O),副教授,博士,研究方向:生物活性因子及功能食品。\*通信作者)

- doi:10.13189/j.issn.1005-2687.2011.11.009
[1] Ribeiro J A. Paracetamol inhibition of neurotransmitter release in the central nervous system[J]. Pharmacology Biochemistry, 1995, 77(5):295-305.
[2] Yu L, Zhao J, Li S P, et al. Quality evaluation of Ginkgo-ethanol emulsion determination of eleven nucleosides and bases by RP-HPLC[J]. J Sep Sci, 2006, 29(7):951-958.
[3] 国家药典委员会. 中华人民共和国药典(一部)[M]. 北京:化学工业出版社, 2010: 630.
[4] 崔洪亮, 程海, 杨海侠, 等. HPLC定量分析非炎复明的主要成分黄芩素的研究[J]. 中国药报, 2008, 31(1): 31-40.
[5] 丁琳, 胡平林, 杨爱英, 等. 牛黄解毒片及其无糖制剂中黄芩素成分的HPLC定量分析[J]. 食品与发酵工程, 2006, 32(6): 97-99.
收稿日期:2011-08-17

1.1 仪器与试剂

Agilent-1100高效液相色谱仪;美国安捷伦公司;AR2140电子分析天平;奥泰斯国际贸易(上海)有限公司;GSY-II型恒温水浴锅;北京医疗设备厂;乳糖(分析纯);北京奶牛中心;D-果糖(分析纯);北京博思生物技术责任有限公司;D(+)葡萄糖(分析纯);天津市华东试剂厂;D(+)蔗糖(分析纯);北京化工厂;各种糖样的纯度均大于99%,乙腈为色谱纯试剂,试验用水为二次蒸馏水。

1.2 方法

1.2.1 色谱条件 色谱柱为ODSHYPERLSIC18柱(100 mm×4.6 mm, 5 μm);流动相:乙腈:水(体积比)(73:27);流速为1.0 mL/min;柱温25℃;Alltech-ELSD2000蒸发光散射检测器参数:载气为氮气,流速2.2 mL/min;漂移管温度85℃。

1.2.2 标准曲线的确定

称取各标准品25 mg,分别溶于50 mL容量瓶中,分别在1.2.1色谱条件下进样,记录各标准品的保留时间,将标准品图与之相比较,根据保留时间确定各标准品成分。

1.2.3 样品溶液的配制

准确称取10 g酸奶,加入4 mL乙酸钾溶液和4 mL亚铁氰化钾溶液,移入250 mL容量瓶中,加入50 mL蒸馏水,摇匀后定容至刻度;沉淀30 min,过滤25 mL后收集滤液到试管中,用0.45 μm的微孔滤膜过滤,滤液供HPLC-ELSD分析。

2 结果与分析

2.1 线性关系考察 分别准确称取乳糖、葡萄糖、蔗糖、乳糖各1250.0mg,

(RID)进行检测,但RID检测灵敏度较低,而且受外界因素影响较大。蒸发光散射检测器(ELSD)作为一种新型的通用型质量检测器,基于不挥发性样品颗粒对光的散射程度与其质量成正比而进行检测,对没有紫外吸收、荧光或电活性的物质以及产生末端外吸收的物质均产生响应,ELSD稳定性好,灵敏度高,无溶剂干扰,弥补了HPLC传统检测的不足。本文采用蒸发光散射与低温型蒸发光散射检测器联用(HPLC-ELSD)测定了酸奶中乳糖的含量,研究和建立一种快速、准确、直接测定乳糖的方法。

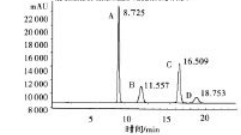


图1 标准溶液 A.乳糖 B.葡萄糖 C.蔗糖 D.乳糖

Table 1 The determination of standard curves of glucose, fructose, sucrose and Lactose

Table with 4 columns: 组分, 线性方程, r-相关系数, 线性范围/μg

2.2 精密度试验

取同一样品溶液重复进样5次,乳糖峰面积测量值的相对标准偏差(RSD)为0.23%,酸奶样品HPLC-ELSD图见图2。

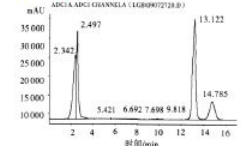


图2 酸奶样品色质图



## 2.3 加样回收试验

在已知乳糖含量的酸奶样品中,加入1.0 mg/ml的糖标准品,在测定条件下连续进样5次,计算其回收率和相对标准偏差(RSD),结果见表2。

表2 样品的加样回收率

进分	样品量 (mg/ml)	加入量 (mg/ml)	测得量 (mg/ml)	回收率/%	RSD/%
1	1.5	1.000	2.58	103.2	
2	1.5	1.000	2.56	102.4	
3	1.5	1.000	2.55	102.0	0.228
4	1.5	1.000	2.57	102.8	
5	1.5	1.000	2.56	102.4	

## 2.4 样品测定

取3种酸奶样品,按上述样品溶液制备方法及各谱条件测定,以外标法计算含量,结果见表3。

表3 酸奶中乳糖含量

样品	乳糖(mg/g)	乳糖的含量/%
1	37.5	3.75
2	25.8	2.58
3	30.5	3.05

## 3 讨论

## 3.1 流动相的选择

根据糖分子都含有极性基团的特点,选用极性较大的溶剂乙腈作流动相,因为糖在乙腈中的溶解度较小,所以,采用乙腈和水作为流动相,实验发现,乙腈在流动相的比例增大,可有效改善色谱峰形,有利于各组分的基线分离,但乙腈比例增大不利于糖的溶解,当增加流动相水的比例时,分析时间变短,但水的比例过大,蔗糖和乳糖组分的出峰时间相互靠近,不易实现基线的分离,通过实验比较了乙腈:水(体积比)为80:20、75:27、70:30、50:50等不同比例的流动相,结果发现乙腈:水(体积比)为73:27时,蔗糖和葡萄糖、蔗糖和乳糖达到完全的分离,而且分析时间最短,适合酸奶中乳糖的分析。

## 3.2 ELSD参数的选择

主要为漂移管温度和载气流速的选择,设定原则为使信噪比达到较高的水平。当漂移管温度85℃,载气流速为2.2 mL/min时,噪音最小,此时信号最强,故确定此条件为测定用条件。

## 3.3 测定方法的选择

糖类物质的含量测定通常采用高效液相色谱(HPLC)连接示差折光检测器(RID)的方法,但其灵敏度不够,不能测出样品中的较低糖含量,而高效液相检测器(ELSD)灵敏度远高于示差折光检测器,且使用的样品很少,对糖的分离效果很好,因此,本研究对酸奶样品进行了简单的预处理后,采用HPIC-ELSD法建立了酸奶中乳糖的测定方法,使用该方法,蔗糖、乳糖可得到很好的分离,该方法也可用于果糖、葡萄糖、蔗糖的测定。

## 4 结论

采用HPIC-ELSD法测定酸奶中的乳糖的含量,在本实验条件下,其线性范围为80 μg-50.0 μg,相关系数 $r=0.9996$ ,本方法操作简便、稳定,结果准确,灵敏度、重现性好,克服了示差检测器检测灵敏度低、系统平衡时间长、不能进行梯度的缺点,而且在20 min内即能完成对各种糖的良好分离,是检测水溶性糖的理想方法。

## 参考文献:

- 李述德,等. AOAC分析方法手册[M]. 4版. 北京:中国化学学会光谱专业委员会, 1996:515-516
- 日本食品工业学会《食品分析》编辑委员会. 食品分析方法(上)[M]. 郑州:郑州大学《食品分析》编辑部, 1998:42-44
- 中华人民共和国卫生部. 中国国家标准化管理委员会. GB5007-1-2003 食品卫生检验用部分[M]. 北京:中国标准出版社, 20-30, 46-48
- 李云. 蔗糖、葡萄糖、果糖、麦芽糖、蔗糖、葡萄糖、乳糖的测定[J]. 食品科学, 2006, 27(4):100-102
- 孙俊, 王红. 糖基化-高效液相色谱-激光散射检测器测定苹果汁中的水溶性糖[J]. 分析化学, 2005, 33(11):1596-1598
- 宋亚利, 魏文斌, 赵惠. HPIC-ELSD法测定大曲糖化中低聚糖的研究[J]. 中国糖业, 2008, 33(3):75-79
- 王慧敏, 魏文斌, 宋亚利. 糖基化-高效液相色谱-激光散射检测器测定苹果汁中水溶性糖的含量[J]. 食品与发酵工业, 2008, 34(6):129-131
- 中华人民共和国卫生部. GB75509.7-2003 食品卫生检验用部分(一)[M]. 北京:中国标准出版社, 2003

收稿日期:2011-04-20

## 山东省野生花卉的开发及在园林上的利用概述

耿云红

(淄博职业学院制药与生物工程系, 山东 淄博 255013)

摘要:山东省野生花卉资源丰富,各地均有分布,野生花卉以其特有的观赏价值和巨大的开发利用潜力而越来越受到人们的重视。文章综述了山东省野生花卉的资源现状和在园林绿化中的应用情况,并提出了可行性的开发利用措施。

关键词:山东省;野生花卉;资源现状;开发利用;园林绿化

## 1 山东省野生花卉资源调查情况及研究状况

## 1.1 山东省野生花卉资源的分布与种类

山东省位于黄河下游,属于暖温带季风气候区,植被种类多,尤其在泰山、崂山、蒙山等山区蕴藏着众多野生花卉资源。

在山东1730余种野生高等植物中,据统计有400余种野生花卉具有较高的观赏价值,从这些野生花卉习性上及其在园林上的应用进行分类,花灌木有70-80种,地被型花卉有268余种,1.2年生花卉30余种,水生花卉13种,球根花卉18种,藤本花卉24种。

## 1.2 山东省野生花卉资源的开发利用现状

在已知的山东省野生花卉中只有很少一部分被开发利用,形成商品优势的种更少,大多数野生花卉仍散落在山林、如乌头、牡丹、芍药、玉兰、报春花类等。

青岛、五莲、济南等地利用野生花卉较多,青岛引种了大量山茶、牡丹、天目琼花等,五莲在园林绿化中应用野生花卉,济南在绿化中大量应用上述花卉。

通过调查发现,目前山东省野生花卉基本处于无管理状态,一般任其自然生长。对于野生花卉的开发利用和引种驯化,也没有制定相应的政策,野生花卉资源破坏较为严重。

## 2 野生花卉在山东园林绿化中的应用状况

## 2.1 用作花坛、花境栽植

花境是参照野生花卉的自然生长状态,经过艺术提炼而设计的带状地段,在花境里栽植野生花卉,可以表现野生花卉本身所特有的自然美。

花不同花色、不同形态、不同叶形和花形,不同花期,野生花卉植株与当地的栽培花卉进行合理地配置,可形成具有野趣的观赏花境。据调查,在山东野生花卉种类中萱草、玉簪、芍药、鸢尾、报春花、芍药、石竹等植物经常在花境栽植。

## 2.2 布置石园和水景园等

落新妇、千屈菜、红掌等植物栽植在池畔、湖面等处,配置得当可以增加水上的层次感,美化水体景观。红掌、落新妇、芍药、玉簪、鸢尾等植物栽植在岩石边,与其它野生花卉科学配置,可以形成花石相间、绚丽多彩的岩石园景观。

另外,野风铃花喜潮湿的环境,我省一般用于山谷林下阴湿处,装点树下及山脚小径处。

## 2.3 布置公园、植物园等

在植物园、森林公园等处,为了创造野趣的游憩环境,可

群植或散植萱草、白头翁、地肤、马兰、紫花地丁、蒲公英等野生花卉在公园的空旷地、山坡上、路边、小径旁,可以形成美丽的花境,达到回归大自然的境界。

另外,在居民区绿地中也可应用野鸢尾、萱草、马兰、紫花地丁等野生花卉。

## 2.4 布置药用园或食用园

部分野生花卉植物如千屈菜、曼陀罗、紫花地丁、红掌等的某部位是优良的药用成分,而马兜铃、白芍、芍药的叶片均可食用,所以可建设植物类药用园或食用园。

## 3 山东省野生花卉的开发利用对策

## 3.1 制订法律法规,加强规范管理

要制订严格的法律法规对野生花卉进行依法保护,依法管理,政府还应出台相应的政策,鼓励相关部门、花卉生产者在野生花卉方面加大资金投入。

## 3.2 加强引种驯化工作

对于已成功进行引种驯化、栽培的种类,要继续加强管理,争取尽快在园林绿化和室内装饰中推广,对于尚未开发利用的种类,要继续进行研究,加快育种步伐,争取培育出具有竞争力的品种。

## 3.3 发挥当地野生花卉优势,扩大特有野生花卉的利用范围

山东省野生花卉丰富,其中也有一些特有种类,要进行合理的开发和利用,增加野生花卉在山东省园林绿化中的利用度,使野生花卉进一步被群众所接受,正确运用植物造景理论合理配置植物,充分发挥野生花卉的优点,体现其价值。

长期以来,在园林设计者和花卉栽培者之间的关系,因此,解决二者的关系是解决野生花卉开发的关键因素之一,政府可以起到协调作用。

要请高级园林设计者对本土野生花卉资源重要性的认识,在进行设计时,适当增加具有特色的野生花卉品种,引导花卉栽培者多栽培野生花卉,使野生花卉能广泛应用于城市绿化当中。

## 参考文献

- 邱彬,李春. 山东野生花卉在园林绿化中的应用途径的探讨[J]. 中国园林, 2007(10)
- 周洪,李永,林元. 中国野生花卉资源的现状及展望[J]. 园林科学, 2004(4)
- 谢海,赵三,魏文斌. 山东省野生花卉资源的分布与开发利用[J]. 山东林业科技, 1999(1)

(责任编辑 杜平宇)



### 硫酸酯化黑木耳多糖的抑菌功能

李公斌  
(淄博职业学院, 山东 淄博 255013)

摘 要: 探讨硫酸酯化黑木耳多糖不同取代度、不同时间对金黄色葡萄球菌、大肠杆菌和霉菌的影响, 通过抑菌试验证明, 硫酸酯化黑木耳多糖对金黄色葡萄球菌、大肠杆菌有不同程度的抑制, 抑制作用可达 16 h~20 h, 对霉菌的抑制程度也有一定的抑制效果。

关键词: 硫酸酯化黑木耳多糖; 金黄色葡萄球菌; 大肠杆菌; 霉菌; 抑菌功能

#### The Study on the Antimicrobial Functions of the Sulfated Auricularia Polysaccharides

Li Gong-bin  
(Zibo Vocational Institute, Zibo 255013, Shandong, China)

Abstract: The effects of degree of substitution of Auricularia Polysaccharides and acting time to *Staphylococcus aureus*, *Escherichia coli* and *Aspergillus niger* spores. The antimicrobial tests indicate that sulfated AAP has a certain of inhibition for the yellow staphylococcus and *E. coli*, with an inhibiting time of 16 h~20 h. Moreover, AAP also has a certain inhibition on the germination of black aspergillus spores.

Key words: sulfated Auricularia Polysaccharides; *Staphylococcus aureus*; *Escherichia coli*; *Aspergillus niger*; the antimicrobial functions

自 20 世纪 80 年代以来, 多糖的化学修饰已成为多糖构效关系研究的重要手段, 也是发现和研制多糖类药物的重要途径。多糖化学修饰包括硫酸酯化、羧甲基化、磷酸酯化、高磷酸酯化等等, 其中硫酸酯化可改变多糖的生物活性[1]。硫酸酯化多糖(Sulfated Polysaccharides) 除已证实具有抗菌作用外, 近年来不断发现它具有多种生物活性, 如增强免疫功能、抗肿瘤等[2-4]。李公斌(1969-) 男(汉), 副教授, 博士, 研究方向: 生物活性分子与药物研发。

抗肿瘤、抗病毒等, 特别是抗艾滋病病毒(HIV) 活性, 使硫酸酯化多糖的研究成为多糖研究领域的一个新热点[5]。香菇多糖、牛蒡多糖、高山红景天多糖、贝糖多糖的硫酸酯化的研究已取得了一定的进展[6]。黑木耳多糖(Auricularia Polysaccharides, AAP) 具有抗肿瘤、抗凝血、抗衰老、降血脂、提高免疫功能等多种功能[7]。本研究进行硫酸酯化黑木耳多糖对金黄色葡萄球菌、大肠杆菌和霉菌的影响实验, 为黑木耳多糖的应用研究, 积累了有价值的参考数据, 也为其在

33), 水分含量分数<30%。

② CMS 有许多优于天然淀粉的优点, 它明显改善了天然淀粉透明反差的缺陷, CMS 糊化度、透明性好, 且随着取代度的增加, 糊化透明反差的增大, 但 CMS 糊对盐和酸的耐受性较低。

#### 参考文献:

[1] Watanabe O.R. Modified Starches: Preparation and uses[J]. Food Cosmet. Toxicol., 1980, 18(7):211

[2] 张万山. 改性淀粉[M]. 广州: 华南理工大学出版社, 1992: 144-164  
[3] 金勇. 改性淀粉. 食品原料和食品添加剂生产工业设计与研究[J]. 中国粮食学报, 2005, 20(5): 70-71  
[4] 李健. 李兆之. 时厚基. 等. 硫酸酯化淀粉对蔗糖甲基化反应的影响[J]. 天津大学学报, 1993(1): 124-131  
[5] Kawai H. Determination of the fractional group and the average degree of substitution of carboxymethyl starch[J]. Starch, 1985, 37(10): 356-358

收稿日期: 2010-06-23

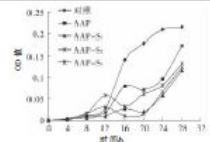


图 2 AAP-S 与 AAP 在液体培养基中对大肠杆菌生长的影响  
Fig.2 Effects of AAP-S and AAP on *Escherichia coli* growth in liquid medium

从图 2 可知, AAP-S 对大肠杆菌的抑制作用与金黄色葡萄球菌相似, 也分 3 个阶段, 但阶段的起始时间不同。对大肠杆菌的抑菌能力依次为 AAP-S<sub>2</sub>>AAP-S<sub>1</sub>>AAP-S<sub>0</sub>>AAP。

2.3 硫酸酯化黑木耳多糖对霉菌孢子的影响  
AAP-S 在液体培养基中对霉菌孢子萌发率的测定结果见图 3。

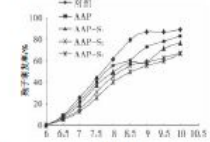


图 3 AAP-S 与 AAP 在液体培养基中对霉菌孢子生长的影响  
Fig.3 Effects of AAP-S and AAP on the germination of *Aspergillus niger* spores in liquid medium

从图 3 可知, 霉菌孢子在 6.5 h 之前没有萌发, 萌发率为 0, 6.5 h 萌发率为 8.4%, 7 h~8.5 h, 萌发率由 25.4% 迅速增加到 79.6%, 8.5 h 后, 萌发率增长缓慢, 9.5 h 为 87.2%, 10 h 为 89.2%, 基本稳定, 硫酸酯化黑木耳多糖对霉菌孢子萌发率有一定的抑制作用, 在 8.5 h 时萌发率降低最多。AAP-S<sub>2</sub>>AAP-S<sub>1</sub>>AAP-S<sub>0</sub>>AAP。

收稿日期: 2010-06-23

食品、医药方面的应用提供参考。

#### 1 材料与方

##### 1.1 材料

黑木耳多糖(AAP)及其硫酸酯化多糖(AAP-S<sub>1</sub>、AAP-S<sub>2</sub>、AAP-S<sub>3</sub>)取代度分别为 0.32、0.64、1.0。本试验室制备; 菌株: 大肠杆菌 (*Escherichia coli*)、25922 金黄色葡萄球菌 (*Staphylococcus aureus*)、25923 黑龙江省微生物应用研究所; 霉菌 (*Aspergillus niger*) ; 黑龙江省微生物应用研究所提供; 葡萄糖、AR; 天津市东丽区天大化学试剂厂; 蛋白粉、牛肉膏、琼脂; 北京奥博生物技术责任有限公司; 吐温-80 CP; 天津市科微化学试剂研发中心; 其它试剂皆分析纯。

震荡培养箱 (HZQ-X100); 哈尔滨市东明医疗仪器厂; 紫外可见分光光度计 (756PC); 上海光谱仪器有限公司; 光学显微镜 (CH0 型); 日本 OLYMPUS 公司。

##### 1.2 试验方法

1.2.1 硫酸酯化黑木耳多糖对金黄色葡萄球菌和大肠杆菌的抑制作用  
菌株活化: 在无菌环境下, 用接种环将菌株从斜面培养基上轻轻刮拭下来, 接种到试管内的斜面, 以之字形划线, 将原菌株封口, 试管加透气孔, 放置冰箱内贮存备用。

种菌液的制备: 在无菌的环境下, 用接种环将菌株从斜面培养基上轻轻刮拭下来, 接种到装有 4 mL~5 mL 液体培养基试管中, 轻轻转动接种环, 尽可能多的将菌株接种到液体培养基中, 然后放置在 37℃ 培养箱中培养 24 h, 备用。

在液体培养基中对金黄色葡萄球菌和大肠杆菌抑制作用的测定: 取 20 mL 培养液培养基倒入 2 个三角瓶中作为 0 号样, 再取 4 个三角瓶各倒入 19 mL 培养液培养基, 然后加入样品, 使其浓度为 0.5 mg/mL。高压灭菌(灭菌, 121℃, 20 min), 用移液管在种菌液中加入 1.0 mL 加入每一个三角瓶中, 以未加菌液的培养基作为参比液, 每 4 h 测定在 640 nm 下的吸光度。

1.2.2 硫酸酯化黑木耳多糖对霉菌孢子的抑制作用  
霉菌孢子悬浮液的制备: 霉菌接种于马铃薯葡萄糖培养基上, 28±2℃ 的暗箱中培养 4 d, 无菌条件下, 取孢子加到马铃薯液体培养基中, 再加入 1 滴~2 滴吐温-80, 配成 10<sup>8</sup> 个孢子/mL 悬液。

黑木耳多糖对霉菌孢子抑制作用的测定: 无菌条件下, 取霉菌孢子悬浮液 5 mL, 加入样品溶液 5 mL (马铃薯液体培养基配制), 使样品浓度分别为

0.5、1.0、2.0 mg/mL, (28±2)℃ 的暗箱中培养一定时间, 显微镜下观察霉菌孢子的萌发率。

#### 2 结果与讨论

2.1 硫酸酯化黑木耳多糖对金黄色葡萄球菌的抑制作用  
AAP-S 和 AAP 在液体培养基中对金黄色葡萄球菌 24 h 的吸光度的测定结果, 见图 1。

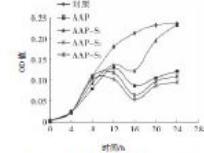


图 1 AAP-S 与 AAP 在液体培养基中对金黄色葡萄球菌生长的影响  
Fig.1 Effects of AAP-S and AAP on *Staphylococcus aureus* growth in liquid medium

由图 1 可知, 金黄色葡萄球菌的生长规律为 0 h~4 h 是生长繁殖期, 4 h~16 h 是指数增长期, 16 h 以后, 基本达到生长平衡, AAP 和 AAP-S 对金黄色葡萄球菌生长的抑制作用可划分为 3 个阶段: ①抑制前期, 此阶段金黄色葡萄球菌数量少, 与样品的接触少, 其生长规律没有改变, 由于样品对菌产生抑制作用, 使菌的数量减少, 导致吸光度降低; AAP-S<sub>2</sub>、AAP-S<sub>1</sub>、AAP-S<sub>0</sub> 此阶段为 0 h~8 h; ②抑制期, 菌液中的菌数量增加, 导致与样品的接触增加, 死亡率增加, 并沉降下来, 从而使吸光度降低; 另一方面, 不被抑制的金黄色葡萄球菌可能发生变异, 对 AAP 产生了降解利用, 降低了 AAP 的浓度, 导致吸光度下降; AAP-S<sub>2</sub>、AAP-S<sub>1</sub> 在此阶段为 8 h~16 h; AAP-S<sub>0</sub> 此阶段为 12 h~16 h; ③抑制后期, 此阶段样品失去了对金黄色葡萄球菌的抑制, 菌体数量逐渐增长, 吸光度逐步增长, 均为 16 h 以后。

AAP-S 与 AAP 对金黄色葡萄球菌的抑菌能力依次为 AAP-S<sub>2</sub>>AAP-S<sub>1</sub>>AAP-S<sub>0</sub>>AAP。AAP-S 在液体培养基中对大肠杆菌 24 h 的吸光度的测定结果见图 2。





表2 正交实验结果

实验号	A	B	C	D	聚合率(%)
1	1	1	1	1	79.06
2	1	2	2	2	91.94
3	1	3	3	3	84.58
4	2	1	2	3	74.03
5	2	2	3	1	78.21
6	2	3	1	2	76.11
7	3	1	3	2	74.57
8	3	2	1	3	71.95
9	3	3	2	1	77.55
K <sub>1</sub>	235.58	227.66	227.12	234.82	
K <sub>2</sub>	228.35	242.10	243.52	242.62	
K <sub>3</sub>	234.07	238.24	237.36	230.56	
k <sub>1</sub>	85.19	75.89	75.71	78.27	
k <sub>2</sub>	76.12	80.30	81.17	80.87	
k <sub>3</sub>	74.69	79.41	79.12	76.85	
R	10.50	4.81	5.46	4.02	

AAP 在形成 AAP-Fe 后明显变蓝, 证外的这种价移和变蓝说明铁离子与 AAP 中的 -OH 发生了整合作用。

3 结论与讨论

3.1 结论

本研究利用 AAP 对 Fe(II) 进行整合, 结果表明, AAP 对 FeSO<sub>4</sub>·7H<sub>2</sub>O 中 Fe(II) 的整合最佳工艺为: Fe(II) 的初始浓度为 5mg/ml, pH 为 3.0, 果糖寡糖与 Fe(II) 的比值为 5:1, 整合 2h。

红外光谱研究显示, AAP 与 Fe(II) 发生了整合作用。

3.2 讨论

FeSO<sub>4</sub>·7H<sub>2</sub>O 的水溶液不溶于乙醇, 在醇沉时, 要调节好乙醇浓度, 使铁盐溶解而 AAP 沉淀, AAP-Fe 的理化性质及其他若作为食品添加剂还有待于进一步研究。

参考文献:

[1] 齐永生, 于凤城. 果糖寡糖多糖糖抗肿瘤作用的实验研究[J]. 中华农业大学学报, 1994, 15(2): 160-1.

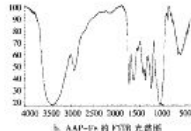
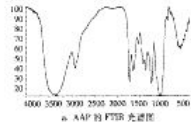


图5 AAP 与 AAP-Fe 的 FTIR 光谱图

[2] 李海, 陈等. 果糖寡糖对小鼠肿瘤作用的初步研究[J]. 中西医结合杂志, 1988, 8(1): 41-1.

[3] 高耀辉, 等. 果糖寡糖对小鼠多瘤病毒肿瘤的作用[J]. 中国药科大学学报, 1997, 20(5): 303-306.

[4] 牟建刚, 陈安华. 果糖寡糖对小鼠多瘤病毒肿瘤的作用[J]. 中国药科大学学报, 1989, 20(6): 34-41.

[5] 郑建仙. 果糖寡糖食品[M]. 北京: 中国轻工业出版社, 1999: 103.

[6] 计美华. 果糖寡糖生物无机化学[M]. 广州: 中山大学出版社, 1992: 9-14.

[7] 赵基敏, 冯俊英. 果糖寡糖整合铁的研究[J]. 河北师范大学学报(自然科学版), 2000, 24(2): 232-233.

[8] 黄泽元, 于凤城, 等. 果糖寡糖对铁离子整合作用的研究[J]. 中国糖业, 1999, 14(4): 25-27.

中文 英文 日文 韩文 德文

## 第一食品网

www.FOODS001.COM

提供国际的贸易平台

1. 提供国际的贸易平台

2. 提供国际的贸易平台

3. 提供国际的贸易平台

4. 提供国际的贸易平台

5. 提供国际的贸易平台

6. 提供国际的贸易平台

7. 提供国际的贸易平台

8. 提供国际的贸易平台

9. 提供国际的贸易平台

10. 提供国际的贸易平台